

ДИФРАКЦИЯ УПРУГОЙ ВОЛНЫ НА СФЕРИЧЕСКОЙ ПОЛОСТИ.
ЧИСЛЕННОЕ РЕШЕНИЕ

А. Н. КОВШОВ

(Москва)

Вопросы, связанные с дифракцией упругих волн на полостях различной формы в безграничной упругой среде, рассматривались в [1-11].

Для построения решения задач в [1-8] к волновым уравнениям, описывающим потенциалы, применялось преобразование Лапласа по времени. Трансформанты Лапласа решений представлялись в виде рядов по модифицированным функциям Бесселя и полиномам Лежандра. Обратное преобразование выполнялось при помощи теории вычетов или численным методом. Медленную сходимость получающихся при этом рядов для больших частот улучшали преобразованием Ватсона. Из-за громоздких вычислений, связанных с необходимостью удерживать большое число членов ряда, этот метод практически не может быть применен для расчета всего поля напряжений и скоростей около полости.

В работе [9] описано применение интегрального уравнения Кирхгофа. Этот метод требует большого объема вычислений и может применяться для описания начальной стадии взаимодействия. Сведение задач взаимодействия упругих волн с полостями к решению интегральных уравнений Вольтерра произведено в работах [10, 11].

Методы конечных разностей применялись для анализа дифракционных полей и движения включений в работах [12-14]. Эти методы позволяют эффективно рассчитывать динамические поля напряжений и скоростей во всем поле около включений:

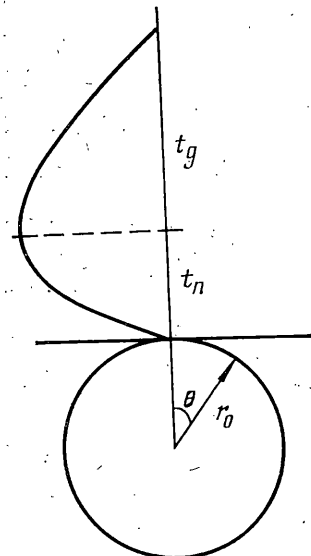
Ниже методом конечных разностей решается задача о дифракции продольной волны на сферической полости. Система уравнений записывается в виде симметричной системы гиперболических уравнений первого порядка относительно скоростей и напряжений. Во внутренних точках применяется разностная схема второго порядка точности типа «пространственный крест». При расчете граничных точек используются бихарakterистические соотношения. Для регуляризации разностного решения применяется слаживание. Обследованы поля напряжений в окрестности полости на расстоянии около двух радиусов. Произведено сравнение с напряженными состояниями, возникающими при дифракции волн на цилиндрической полости.

1. Введем сферическую систему координат r, θ, φ с полюсом в центре сферы (фиг. 1). Упругую среду характеризуем плотностью ρ и параметрами Ламе λ и μ .

Введем безразмерные величины

$$\sigma_{ij} = \sigma_{ij}' / (\lambda + 2\mu), \quad u_i = u_i' / a, \quad r = r' / r_0, \quad t = t' a / r_0$$

При этом σ_{ij}' — компоненты тензора напряжений, u_i' — компоненты вектора скорости, $a = [\lambda + 2\mu] / \rho$ — скорость продольной волны в среде, t' и r' — размерные время и радиус. Далее единицы измерения примем такими, что $a=1$, $\rho=1$. Считаем, что среда описывается линейными уравнениями теории упругости. В силу выбранной ориентации системы коор-



Фиг. 1

динат относительно фронта падающей волны можно считать, что решение не зависит от угла ϕ , т. е. обладает осевой симметрией. Систему уравнений удобнее записать в виде симметрической системы гиперболических уравнений.

Для этого обозначим $\sigma_r = \sigma_{rr}$, $\sigma_\theta = \sigma_{\theta\theta}$, $\sigma_\phi = \sigma_{\phi\phi}$, $\mu = b^2/a^2$ и сделаем замену

$$p = (\sigma_r + \sigma_\theta)/2, \quad q = (\sigma_r - \sigma_\theta)/2, \quad R = \sigma_\phi - p(1-2\mu)/(1-\mu) \quad (1.1)$$

Тогда получим систему уравнений

$$\begin{aligned} u' &= p_{,r} + q_{,r} + \frac{1}{r} \tau_{,\theta} + \frac{1}{r} \left(\frac{\mu}{1-\mu} p + 3q - R + \tau \operatorname{ctg} \theta \right) \\ v' &= \frac{1}{r} (p_{,\theta} - q_{,\theta}) + \tau_{,r} + \frac{1}{r} \left[3\tau + \left(\frac{\mu}{1-\mu} p - q - R \right) \operatorname{ctg} \theta \right] \\ \frac{1}{1-\mu} p' &= u_{,r} + \frac{1}{r} v_{,\theta} + \frac{2-3\mu}{1-\mu} \frac{u}{r} + \frac{1-2\mu}{1-\mu} \frac{v}{r} \operatorname{ctg} \theta \\ \frac{1}{\mu} q' &= u_{,r} - \frac{1}{r} v_{,\theta} - \frac{u}{r}, \quad \frac{1}{\mu} \tau' = \frac{1}{r} u_{,\theta} + v_{,r} - \frac{v}{r} \\ \frac{1}{\mu} R' &= \frac{3-4\mu}{1-\mu} \left(\frac{u}{r} + \frac{v}{r} \operatorname{ctg} \theta \right), \quad u = u_r, \quad v = v_\theta \end{aligned} \quad (1.2)$$

Система (1.2) имеет вид симметричной системы уравнений первого порядка с положительно-определенной матрицей

$$A^t y_{,t} + A^r y_{,r} + A^\theta y_{,\theta} + B = 0$$

$$y = \begin{vmatrix} u \\ v \\ p \\ q \\ \tau \\ R \end{vmatrix}, \quad A^t = \begin{vmatrix} 1 & 1 & 0 \\ 1 & 1 & 0 \\ 1 & 1 & 0 \\ \frac{1}{1-\mu} & \frac{1}{\mu} & 0 \\ 0 & 0 & \frac{1}{\mu} \\ \frac{1}{\mu} & \frac{1}{\mu} & 0 \end{vmatrix}, \quad A^r = \begin{vmatrix} 0 & 0 & -1 & -1 & 0 & 0 \\ 0 & 0 & 0 & 0 & -1 & 0 \\ -1 & 0 & 0 & 0 & 0 & 0 \\ -1 & 0 & 0 & 0 & 0 & 0 \\ 0 & -1 & 0 & 0 & 0 & 0 \\ 0 & 0 & 0 & 0 & 0 & 0 \end{vmatrix}$$

$$A^\theta = \frac{1}{r} \begin{vmatrix} 0 & 0 & 0 & 0 & -1 & 0 \\ 0 & 0 & -1 & 1 & 0 & 0 \\ 0 & -4 & 0 & 0 & 0 & 0 \\ 0 & 1 & 0 & 0 & 0 & 0 \\ -1 & 0 & 0 & 0 & 0 & 0 \\ 0 & 0 & 0 & 0 & 0 & 0 \end{vmatrix}, \quad B = \frac{1}{r} \begin{vmatrix} 0 & 0 & m_1 & -3 & -s & 1 \\ 0 & 0 & m_1 s & s & 0 & s \\ m_2 & m_3 s & 0 & 0 & 0 & 0 \\ 1 & 0 & 0 & 0 & 0 & 0 \\ 0 & 1 & 0 & 0 & 0 & 0 \\ m_4 & m_4 s & 0 & 0 & 0 & 0 \end{vmatrix}$$

$$m_1 = \frac{\mu}{1-\mu}, \quad m_2 = \frac{3\mu-2}{1-\mu}, \quad m_3 = \frac{2\mu-1}{1-\mu}, \quad m_4 = \frac{4\mu-3}{1-\mu}, \quad s = \operatorname{ctg} \theta$$

Из вида матриц A^t , A^r , A^θ видно, что они содержат в верхнем левом углу блоки $[5 \times 5]$, совпадающие с соответствующими матрицами для системы уравнений, описывающей плоские движения и представленной в полярной системе координат (r, θ) [14]. Это связано с существованием осевой симметрии.

Задача о дифракции плоской продольной волны на сферической полости, свободной от напряжений, сводится к нахождению решения системы (1.2), удовлетворяющего граничным и начальным значениям. Начальное условие состоит в том, что при $t=t_0$ напряжения и скорости должны совпадать с напряжениями и скоростями в падающей продольной волне.

не. Пусть $\sigma_0=1$ — интенсивность падающей волны, $f(\xi)$ — ее форма. Тогда в силу замены (1.1) получаем следующие начальные данные для системы (1.2):

$$\begin{aligned} p &= -\sigma_0 f(\xi) (1-\mu), \quad q = -\sigma_0 f(\xi) \mu \cos 2\theta, \quad \tau = \sigma_0 \mu f(\xi) \sin 2\theta \\ R &= 0, \quad u = -\sigma_0 f(\xi) \cos \theta, \quad v = \sigma_0 f(\xi) \sin \theta, \quad \xi = r \cos \theta - 1 \end{aligned} \quad (1.3)$$

В предположении, что полость свободна от напряжений, получим граничное условие

$$p+q=0, \quad \tau=0 \text{ при } r=1 \quad (1.4)$$

Пользуясь линейностью задачи, будем искать решение в виде $y=y_0+y_1$, где y_0 задается падающей волной. Тогда для y_1 получим задачу с ненулевыми начальными данными, с ненулевыми граничными условиями при $r=1$.

В силу (1.4) имеем, что при $r=1$ должно удовлетворяться

$$p_1+q_1=f(\xi) (1-2\mu \sin^2 \theta), \quad \tau_1=-f(\xi) \mu \sin 2\theta \quad (1.5)$$

При построении конечно-разностного решения ограничим расчетную область дополнительной границей $r=r_1$ и поставим на ней условия, соответствующие расходящейся волне [13, 14]. Эти условия предполагают, что при $r=r_1 \gg 1$ движение близко к одномерному по нормали к границе $r=r_1$ и имеют вид

$$p_1+q_1+u_1=0, \quad \tau_1+\sqrt{\mu}v_1=0 \quad (1.6)$$

В силу осевой симметрии будем строить решение для $0 < \theta < \pi$. При $\theta=0, \pi$ из условия симметрии получаем следующие условия:

$$\tau_1=v_1=0, \quad p_{1,0}=q_{1,0}=R_{1,0}=u_{1,0}=0. \quad (1.7)$$

Построив решение y_1 для $t > t_0$ и сложив его с решением, задаваемым падающей волной (выражения (1.3)), найдем решение задачи о дифракции продольной волны на сферической полости, свободной от напряжений (ниже индекс 1 у соответствующих величин опускается).

2. В координатах r, θ расчетная область $1 < r < r_1, 0 < \theta < \pi$ разбивается на ячейки прямыми

$$\theta_j=\Delta\theta \times j, \quad r_i=(1+\Delta\theta)^i \quad (i=0, 1, \dots, m; j=0, 1, \dots, N)$$

Переменный шаг h_i по координате r берется таким образом, что $h_i=r_i \Delta\theta$. При таком разбиении ячейки будут близки к квадратным во всей расчетной области. Считается, что функции p, q, τ, R определены в узлах сетки, а скорости u, v определены в центрах ячеек. Вводится расщепление по времени; при этом скорости u, v считаются определенными для $t=\nabla t$ ($k=0.5$), а p, q, τ, R — для $t=\Delta t k$ ($k=0, 1, \dots, K$).

Во внутренних точках используется схема типа пространственный крест. При этом уравнения для скоростей аппроксимируются со вторым порядком точности по всем переменным, а в ошибку аппроксимации производных по r от напряжений войдет член $h_i-h_{i-1} \approx r_i \Delta\theta^2$. Применение переменного шага по координате хотя и увеличивает ошибку аппроксимации, но позволяет уменьшить влияние дополнительной границы и условий на ней на решение [14]. Граница расчетной области проходит по узлам сетки, поэтому граничные условия должны формулироваться для величин p, q, τ, R .

Граничное условие (1.7) заменяется на следующее:

$$\tau=0, \quad \delta_\theta p=\delta_\theta q=\delta_\theta R=0 \quad (2.1)$$

где δ_θ — оператор, аппроксимирующий первую производную по θ со вторым порядком точности.

Условий (1.5) недостаточно для определения четырех величин p_0, q_0, R_0, t на «верхнем» слое по времени при $r=1$. Поэтому к ним добавляются еще два бихарктеристических соотношения для системы уравнений (1.2) [15, 16]. На характеристической плоскости вдоль прямой, по которой она касается поверхности $r=\text{const}$, имеем соотношения

$$\begin{aligned} \mu p_{,\theta} - (1-\mu) q_{,\theta} - 2\mu(1-\mu) \frac{v_{,\theta}}{r} - \mu(3-4\mu) \frac{u}{r} - \mu(1-2\mu) \frac{v}{r} \operatorname{ctg} \theta &= 0 \\ (1-\mu) R_{,\theta} - \mu(3-4\mu) \left(\frac{u}{r} + \frac{v}{r} \operatorname{ctg} \theta \right) &= 0 \end{aligned} \quad (2.2)$$

Соотношения (2.2) используются для определения неизвестных величин на верхнем слое по времени при $r=1$ и $r=r_1$, при этом скорости экстраполируются на границу и применяются центральные разности. Обозначив индексом 1, 0, $\frac{1}{2}$ величины на верхнем, нижнем и промежуточном слоях по времени при $r=1$, получим

$$\begin{aligned} p_1 &= (1-\mu)(1-2\mu \sin^2 \theta)f(\xi) + \Delta t A_{\frac{1}{2}} + \mu p_0 - (1-\mu)q_0 \\ q_1 &= -\dot{p}_1 + (1-2\mu \sin^2 \theta)f(\xi), \quad \tau_1 = -\mu \sin 2\theta f(\xi) \\ R_1 &= R_0 + \Delta t \mu \frac{3-4\mu}{1-\mu} (u+v \operatorname{ctg} \theta)_{\frac{1}{2}} \frac{1}{r}, \quad \xi = r \cos \theta - 1 + t - t_0 \end{aligned} \quad (2.3)$$

Условие (1.6) также добавляется бихарктеристическими соотношениями и неизвестные при $r=r_1$ определяются следующим образом:

$$\begin{aligned} p_1 &= \Delta t A_{\frac{1}{2}} + \mu p_0 - (1-\mu)(q_0 + u_{\frac{1}{2}}), \\ q_1 &= -p_1 - u_{\frac{1}{2}}, \quad \tau_1 = -\sqrt{\mu} v_{\frac{1}{2}} \\ R_1 &= R_0 + \Delta t \mu \frac{3-4\mu}{1-\mu} (u+v \operatorname{ctg} \theta)_{\frac{1}{2}} \frac{1}{r} \\ A_{\frac{1}{2}} &= 2\mu(1-\mu) \frac{v_{,\theta}}{r} + \mu(3-4\mu) \frac{u}{r} + \mu(1-2\mu) \frac{v}{r} \operatorname{ctg} \theta \end{aligned} \quad (2.4)$$

Таким образом решение определяется во всех точках на верхнем слое по времени.

Чтобы гасить колебания разностного решения, возникающие при резких формах падающей волны и вызванные использованием схемы второго порядка точности, применяется сглаживание решения. Для одномерного случая применяемое сглаживание имеет следующую форму:

$$f_j^s = b_0 |f_{j+1} - f_j| f_{j+1} + (1 - b_0 |f_{j+1} - f_j| - b_0 |f_j - f_{j-1}|) f_j + b_0 |f_j - f_{j-1}| f_{j-1} \quad (2.5)$$

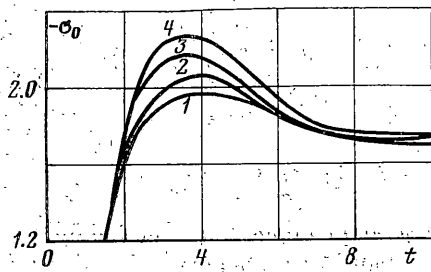
т. е. это трехточечное сглаживание с коэффициентами, зависящими от градиента сглаживаемого решения. Такое сглаживание применялось по координатам θ и r во внутренних точках. На границах $r=1$ и $r=r_1$ применялось пятиточечное сглаживание [17-19]. Коэффициент b_0 подбирался в процессе расчетов. Шаг Δt выбирается по ячейкам, имеющим наименьшие размеры, и из соображений устойчивости должен удовлетворять условию

$$\frac{\Delta t}{\sqrt{(\Delta \theta)^2 + h_0^2}} \leq \frac{\lambda}{\sqrt{2}} \quad \lambda < 1 \quad (2.6)$$

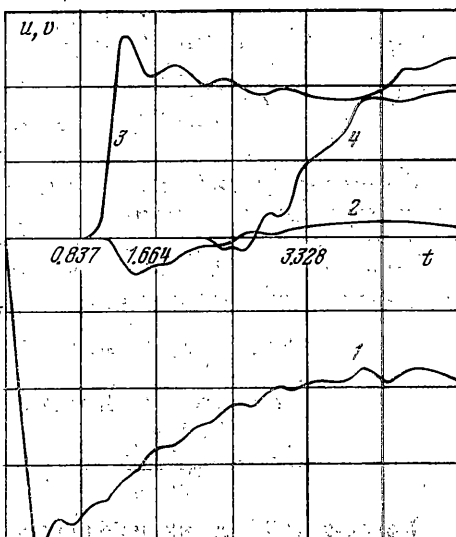
3. Расчеты производились на сетке $M=20$, $N=30$. При этом шаг по углу $\Delta\theta = 0.1047$, шаг по времени $\Delta t = 0.0837$, $r_1 = 7.3289$. Интенсивность падающей волны принималась равной единице, форма волны принималась треугольной и характеризовалась двумя параметрами: временем нарастания t_n и временем длительности t_g . Коэффициент в операторе сглаживания $b_0 = 0.2$, а значение коэффициента μ варьировалось.

На фигурах представлены результаты расчетов для формы волны, взятой в виде ступенчатой функции Хевисайда. Для этого выбирается $t_n \ll 1$ и $t_g \gg 100$. В этом случае из физических соображений ясно, что при больших значениях времени t около полости должно устанавливаться некоторое стационарное распределение напряжений. При этом во всех точках среды будет одинаковая скорость. Распределение напряжений можно получить, решив статическую задачу о полости в бесконечной среде, с условиями на бесконечности, порожденными «прошедшей» волной.

Применяя метод установления, можно также получить решение статической задачи. Заметим, однако, что



Фиг. 2.



Фиг. 3

условия (1.6) для отраженных волн в случае установления дают $\sigma_r^i = 0$, $\tau^i = 0$ при $r = r_1$, т. е. условия, которые в точной постановке должны выполняться в бесконечности, переносятся на $r = r_1$. Это внесет некоторую погрешность для напряжений вблизи полости, но, как показывают расчеты, эта погрешность тем меньше, чем больше r_1 . Решение, полученное методом установления, позволяет оценить точность результатов и характер установления нестационарного решения к статическому.

Решение статической задачи для упругой среды со сферической полостью, свободной от напряжений и с условиями на бесконечности

$$\sigma_r = -(1-2\mu \sin^2 \theta), \quad \tau = \mu \sin 2\theta, \quad \sigma_\theta = -(1-2\mu \cos^2 \theta), \quad \sigma_\phi = -(1-2\mu) \quad (3.1)$$

можно построить методом, изложенным в [20].

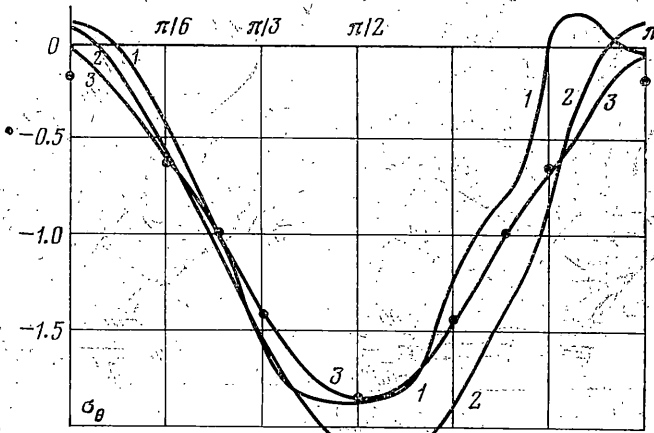
Заметим, что условия (3.1) порождаются прошедшей продольной волной. Для статической задачи на полости при $r=1$ получим следующие выражения для σ_θ и σ_ϕ :

$$\sigma_\theta = -\frac{3}{2} + \mu \frac{6m}{5-7m} - \mu \frac{30m}{5-7m} \cos^2 \theta \quad (3.2)$$

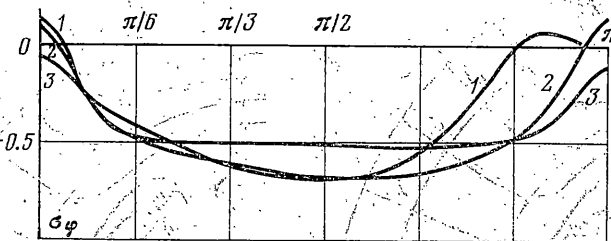
$$\sigma_\phi = -\frac{3}{2} + \mu \frac{30-24m}{5-7m} - \mu \frac{30}{5-7m} \cos^2 \theta$$

$$m = 2(1-\mu)/(1-2\mu)$$

Чтобы сравнить конечно-разностное решение с результатами [6, 7], рассчитывался случай $\mu = 0.25$, $t_n = 0.2$, $t_g = 10^{10}$. На фиг. 2 показана зависимость кольцевого напряжения σ_θ от времени в точке $r=1$, $\theta=\pi/2$. Кривая 1 — результаты работы [7], кривая 2 — конечно-разностное решение. Видно, что конечно-разностное решение несколько (5%) превышает максимальное значение, полученное в рядах. Время установления к статическому значению ($\sigma_\theta = -1.781$) согласуется хорошо и составляет восемь пробегов радиуса. На этой же фигуре показаны результаты расчета для $\mu = 0.3$, 0.333 (кривые 3, 4 соответственно). Статические значения соответственно рав-



Фиг. 4



Фиг. 5

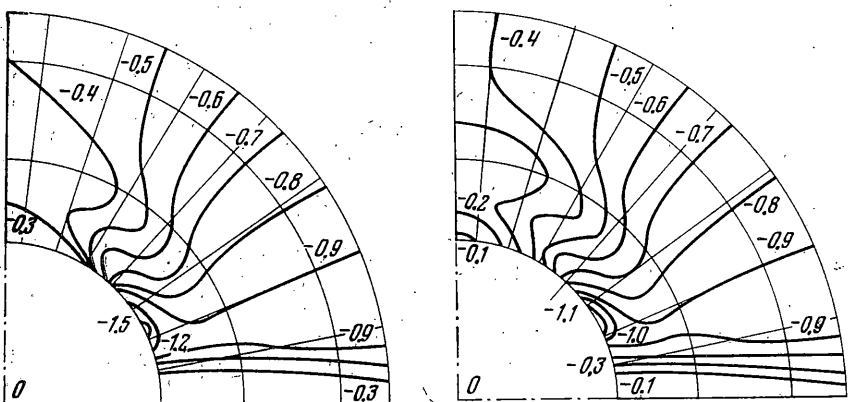
ны $\sigma_\theta = -1.824$, $\sigma_\phi = -1.844$. Видно, что для больших μ максимальные динамические напряжения увеличиваются.

На фиг. 3 показаны зависимости скоростей от времени в различных точках полости для $\mu=0.3$. (Кривые 1, 2, 3 соответствуют скоростям $u(0, 0)$, $u(0, \pi/2)$, $v(0, \pi/2)$, а кривая 4 — скорости $u(0, \pi)$). Видно, что присутствие полости сильно меняет скорости в различных точках среды. Так, при $\theta=0$ радиальная скорость удваивается по сравнению со скоростью в падающей волне, что соответствует локальному отражению плоской волны от плоской свободной границы. Скорость v при $\theta=\pi/2$ превышает значение скорости в падающей волне (около 30%). При $t \approx 5$ скорости близки к своим стационарным значениям. Как показывают расчеты, при $t > 10$ отклонение от стационарных значений составляет менее 3%.

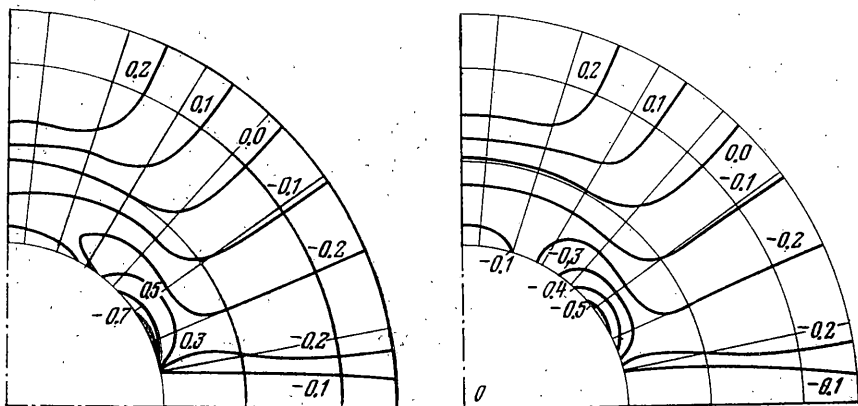
На фиг. 4, 5 построено распределение напряжений σ_θ и σ_ϕ от угла θ для различных моментов времени. Кривые 1, 2, 3 соответствуют времени $t=2.094, 4.188, 6.983$. Кривая, отмеченная точками, — распределение, соответствующее решению статической задачи, полученному по (3.2). Видно, что для $t < 5$ в областях $\theta \approx 0$ и $\theta = \pi$ имеются растягивающие напряжения σ_θ и σ_ϕ . При $t > 7$ конечно-разностное решение близко к статическому. Заметим, что при использовании слаживания для $t > 10$ происходит уменьшение максимальных значений. Например, при $t=18.849$ напряжение $\sigma_\theta(1, \pi/2) = -1.599$, а при $t=6.983$ напряжение $\sigma_\theta = -1.824$.

Конечно-разностный метод позволяет построить решение во всех точках расчетной области при меньших затратах машинного времени, чем если бы использовались методы [5-8]. Так, время расчета одного варианта, результаты которого представлены ниже, на сетьке 20×30 для интервала времени $0 < t < 10$ составляет на БЭСМ-6 около семи минут. Поэтому возможно анализировать динамические поля напряжений около полости. Такой анализ проводится с целью выявления областей концентрации напряжений. Можно предположить, что именно в этих областях может произойти разрушение среды.

Хотя результаты, полученные для упругой среды, имеют характер прогнозов, можно предположить, что они будут полезными и в других ситуациях. Ниже выбрана следующая форма представления результатов. Построены линии уровня функций $\sigma_\theta(r, \theta, t)$ и $\tau_m = (\sigma_\theta - \sigma_r)/2$ для различных значений времени t , где τ_m — максимальное касательное напряжение, действующее на плоскости, перпендикулярной плоскости чертежа и расположенной под углом $\pm 45^\circ$ к радиусу. На фигурах представлена



Фиг. 6



Фиг. 7

зона вблизи полости $1 < r < 2.5$, хотя в расчетной области $1 < r < 7.8$. Именно в этой зоне имеются наибольшие концентрации напряжений, и она должна быть изучена подробно.

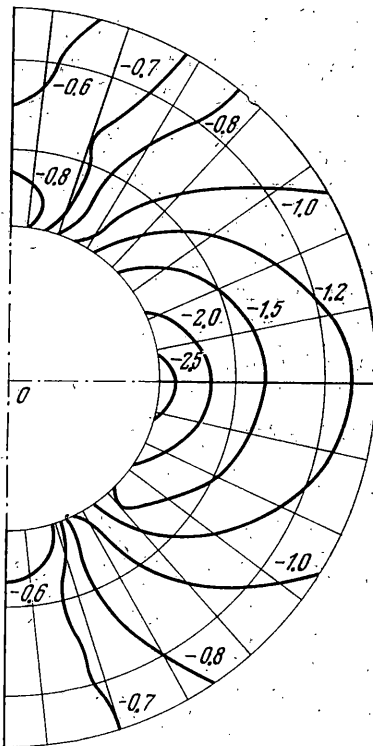
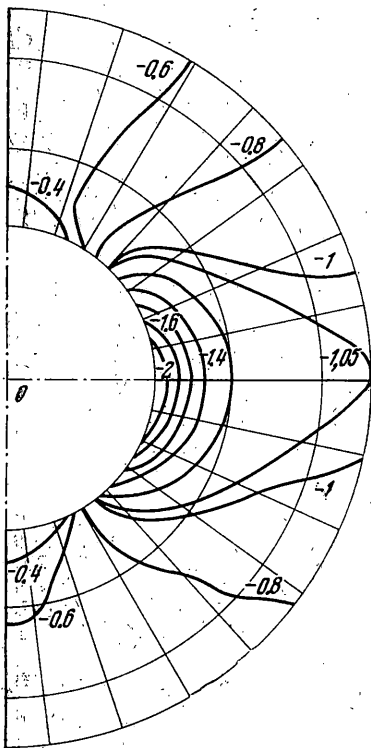
Дифракция на сферической полости представляет собой простейший случай дифракции в пространстве трех измерений. Поэтому представляет интерес сравнить результаты задач о дифракции на сферической и цилиндрической полостях. Такое сравнение позволит оценить влияние пространственности и в каком-то смысле конечности полости, на которой происходит дифракция волны.

Задача о дифракции на цилиндрической полости рассчитывалась по аналогичной методике, описанной в [14]. Некоторые результаты расчетов представлены на фиг. 6-9 (фиг. 6, а-9, а соответствуют дифракции на сферической полости, а фиг. 6, б-9, б – на цилиндрической полости)¹.

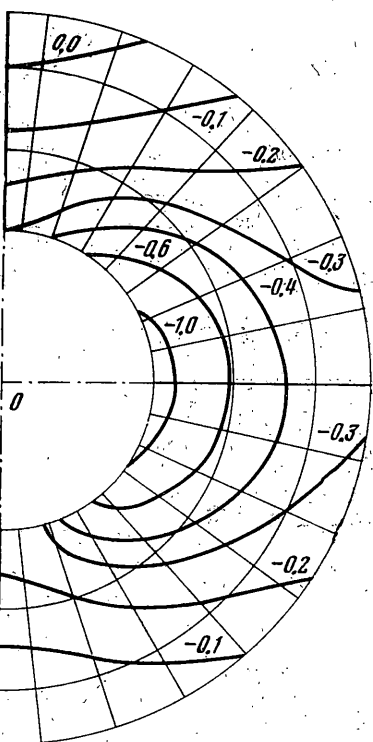
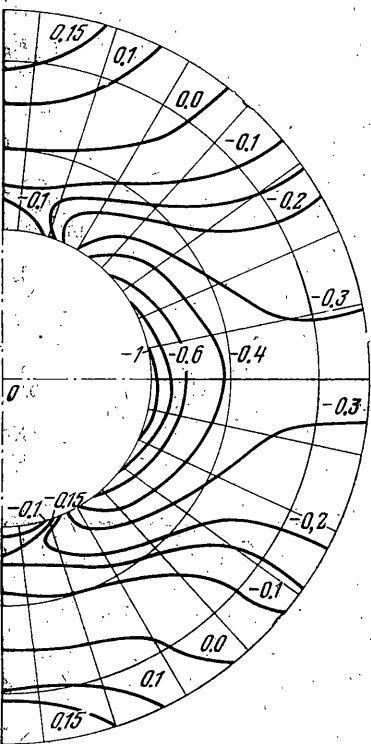
Фиг. 6, 7 относятся ко времени $t=0.837$. Как показывают расчеты, поля σ_r около сферической и цилиндрической полостей при $t=0.837$ отличаются мало. Нужно отметить для обоих случаев появление при малых θ области растягивающих напряжений σ_r . Из фиг. 6, 7 видно, что при $t=0.837$ функции σ_θ и τ_m вблизи сферической полости принимают большие значения, чем у цилиндрической полости, но область, где действуют эти большие напряжения, мала. Таким образом, динамическая концентрация напряжений непосредственно у сферической полости выше, чем у цилиндрической.

Большие напряжения локализуются у сферической полости в гораздо меньших областях и поэтому отдельные точки среды подвержены большим напряжениям в течение меньшего интервала времени по сравнению с временем действия умеренных напряжений около цилиндрической полости. Можно прогнозировать возможный характер разрушения среды около полостей. Так, при малых углах θ возможен откол,

¹ Подробные результаты см: Ковшов А. Н. Взаимодействие упругой волны со сферической полостью. Численное решение. М., Ин-т проблем механики АН СССР, 1978, препринт № 109.



Фиг. 8



Фиг. 9

а в зоне отражения падающей волны вероятнее разрушение от τ_m , т. е. «сколом». Как и следовало ожидать, в случае сферической полости «концентрации» сильнее «затухают» от расстояний от полости, чем в цилиндрическом случае.

Фиг. 8, а, 9, а относятся к $t=4.56$, а 8, б, 9, б — к $t=5.86$. Как показывают расчеты, для этих значений времени σ_0 и τ_m принимают наибольшие значения на полости. При этом распределение по углу обладает симметрией, как и для случая статической задачи, но концентрация напряжений несколько выше, особенно при дифракции на сферической полости. Так, например, при $\mu=0.3$ и $\theta=\pi/2$ статическое напряжение $\sigma_0/\sigma_0=1.821$, а в динамике $\sigma_0/\sigma_0=2.10$ при $t=4.16$. При этих значениях t области с большими по модулю значениями σ_0 и τ_m в случае цилиндрической полости занимают большую часть окрестности. При этом и сами значения σ_0 и τ_m больше для цилиндрической полости. Поэтому можно предположить, что в разрушению в этом случае будет подвержена большая часть окрестности, причем характер разрушения — скол. Заметим, что при $t=5.86$ уже возможно оказывается выглаживание решения. Поэтому максимальные значения напряжений у цилиндрической полости могут оказаться несколько заниженными.

Автор благодарит Н. В. Зволинского за внимание к работе.

Поступила 27 IV 1978

ЛИТЕРАТУРА

1. Baron M. L., Matthews A. T. Diffraction of a pressure wave by a cylindrical cavity in an elastic medium. Trans. ASME. Ser. E. J. Appl. Mech., 1961, vol. 28, No. 3. (Рус. перев.: Прикл. механ. Тр. Америк. о-ва инж.-механ. Сер. Е, 1961, № 3).
2. Baron M. L., Parnes R. Displacements and velocities produced by the diffraction of a pressure wave by a cylindrical cavity in an elastic medium. Trans. ASME. Ser. E. J. Appl. Mech., 1962, vol. 29, No. 2. (Рус. перев.: Прикл. механ. Тр. Америк. о-ва инж.-механ. Сер. Е, 1962, № 2).
3. Яворская И. М. Дифракция плоских стационарных упругих волн на гладких выпуклых цилиндрах. ПММ, 1965, т. 29, вып. 3.
4. Mow C. C., Workman J. W. Dynamic stresses around a fluid-filled cavity. Trans. ASME. Ser. E. J. Appl. Mech., 1966, vol. 33, No. 4. (Рус. перев.: Прикл. механ. Тр. Америк. о-ва инж.-механ. Сер. Е, 1966, № 4).
5. Norwood E. R., Miklowitz J. Diffraction of transient elastic waves by a spherical cavity. Trans. ASME. Ser. E. J. Appl. Mech., 1967, vol. 34, No. 3. (Рус. перев.: Прикл. механ. Тр. Америк. о-ва инж.-механ. Сер. Е, 1967, № 3).
6. McLeary R. The interaction of a plane wave with a spherical cavity. Trans. ASME. Ser. E. J. Appl. Mech., 1969, vol. 36, No. 3. (Рус. перев.: Прикл. механ. Тр. Америк. о-ва инж.-механ. Сер. Е, 1969, № 3.)
7. Huang H., Wang Y. F. Transient stress concentration by a spherical cavity in an elastic medium. Trans. ASME. Ser. E. J. Appl. Mech., 1972, vol. 39, No. 4. (Рус. перев.: Прикл. механ. Тр. Америк. о-ва инж.-механ. Сер. Е, 1972, № 4).
8. Дащевский М. А. Расчет полостей в упругой среде на действие нестационарной плоской волны сжатия. Строительная механика и расчет сооружений, 1976, № 3.
9. Ko W. L., Karlsson T. Application of Kirchhoff's integral equation formulation to an elastic wave scattering problem. Trans. ASME. Ser. E. J. Appl. Mech., 1967, vol. 34, No. 4. (Рус. перев.: Прикл. механ. Тр. Америк. о-ва инж.-механ. Сер. Е, 1967, № 4).
10. Kramm A. Zur Ausbreitung von Stroswellen in Kreislochscheiben. Z. angew. Math. und Mech., 1948, Bd. 28, H. 4.
11. Кубенко В. Л. Про развязок задач дифракции нестационарных пружинных хвиль на перешейках цилиндрической и сферической форм. Доп. АН УРСР, Сер. А, 1975, № 10.
12. Скобеев А. М. Дифракция упругой волны на диске. ПМТФ, 1972, № 3.
13. Скобеев А. М. Взаимодействие упругой волны с пластинкой. ПМТФ, 1972, № 2.
14. Коэшов А. Н. О дифракции нестационарной упругой волны на цилиндрической полости. Изв. АН СССР. МТТ, 1976, № 4.
15. Курант Р. Уравнения с частными производными. М., «Мир», 1964.
16. Clifton R. J. A difference method for plane problems in dynamic elasticity. Quart. Appl. Math., 1967, vol. 25, No. 1. (Рус. перев.: Механ. Сб. перев., 1968, № 1).
17. Рихтмайер Р., Мортон К. Разностные методы решения краевых задач. М., «Мир», 1972.
18. Росляков Г. С., Сухоруков В. П. Применение сглаживания к расчету разрывных течений. В сб.: Вычислительные методы и программирование, т. 15. Изд-во МГУ, 1970.
19. Ляхов В. И. Сглаживание и искусственная вязкость при расчетах двумерных нестационарных течений с разрывами. В сб.: Численные методы в механике сплошной среды, т. 5 вып. 3. Новосибирск, ВЦ СО АН СССР, 1974.
20. Лурье А. И. Пространственные задачи теории упругости. М., Гостехиздат, 1955.